

رفتار اتصالات کناری تیر عریض - ستون بتن مسلح با خروج از مرکزیت محور تیر نسبت به محور ستون

میثم مقیمی دهکردی (دانشجوی کارشناسی ارشد)

عباسعلی نسینه‌ی*

(استاد)

دانشکده‌ی هندسی عمران و محیط زیست، دانشگاه تربیت مدرس

سارا میرزا باقری (استادیار)

دانشکده‌ی هندسی عمران، دانشگاه آزاد اسلامی، واحد بروند

در طی دهه‌های اخیر، مطالعات قابل توجهی در زمینه‌ی رفتار لرزه‌ی اتصالات تیر عریض - ستون بتن مسلح انجام شده است. با وجود این، مطالعات پیامون رفتار اتصالات تیر عریض - ستون بتن مسلح با خروج از مرکزیت محور تیر نسبت به محور ستون انجام نشده است. در نوشتار حاضر، با استفاده از نمونه‌های آزمایش شده، به بررسی عددی اتصالاتی مشابه اتصالات مذکور پرداخته شده است. منحنی‌های پار - تغییرمکان نسبی جانبی به دست آمده از تحلیل‌های عددی، انطباق بالایی با نتایج آزمایشگاهی نشان می‌دهند. نتایج حاصل بیانگر آن است که افزایش خروج از مرکزیت، سبب افت نمودار پار - تغییرمکان نسبی جانبی می‌شود و در مواردی که خروج از مرکزیت محور تیر از محور ستون به مقدار بیشینه‌ی خود می‌رسد و تغییرمکان نسبی جانبی ۵٪ باشد، مقدار کاهش مقاومت برابر ۲۲٪ می‌شود. علاوه بر این، با افزایش نسبت عرض تیر به عرض ستون، اثر مخرب خروج از مرکزیت محور تیر از محور ستون در رفتار اتصال بیشتر خواهد بود.

واژگان کلیدی: بتن مسلح، تیر عریض، اتصال کناری، تحلیل اجزاء محدود، خروج از مرکزیت.

۱. مقدمه

تیر عریض، تیری است که عرضی بیشتر از عرض ستون متصل به آن را داشته باشد. سیستم قاب تیر عریض را می‌توان سیستمی بین دال تخت و سیستم قاب متداول با تیر معمولی دانست که به آن سیستم دال نواری گفته می‌شود. سیستم‌های سازه‌ی تیر عریض را به دو صورت می‌توان در ساختمان‌ها استفاده کرد: ۱. سیستم‌های تیر عریض با دال، ۲. سیستم‌های تیر عریض با تیرچه.

سیستم تیر عریض با دال، شامل دال یک طرفه‌ی متصل به تیر عریض است و مزایای استفاده از آن عبارت‌اند از: کاهش ارتفاع ساختمان، انعطاف‌پذیری بیشتر در جانمایی ستون‌ها، قالب‌بندی ساده‌تر و کاهش فولاد در دال و برای دهانه‌های تا ۷ متر مناسب است. سیستم تیر عریض با تیرچه، شامل تیرچه‌هایی با عمقی برابر تیر عریض هستند که به تیرهای عریض تکیه دارند. سیستم‌های سازه‌ی تیر عریض در شرایطی که محدودیت ارتفاع طبقه وجود دارد، اهمیت خاصی دارند و استفاده از آن‌ها، هزینه‌های قالب‌بندی را کاهش می‌دهد. استفاده از سیستم مذکور، علاوه

* نویسنده مسئول

تاریخ: دریافت ۱۳۹۴/۰۵/۱۷، اصلاحیه ۱۳۹۵/۰۸/۱۷، پذیرش ۱۳۹۵/۰۸/۲۸

DOI: 10.24200/J30.2018.1350

جانبی خواهند داشت، به طوری که ظرفیت استهلاک انرژی اتصالات تیر عریض سنتون از اتصالات تیر عریض نسبتی معمولی ستون بیشتر خواهد بود. به علاوه به دلیل حضور آرماتورهای طولی تیر عرضی در نمونه‌های با تیر عریض، مکانیزم مفصل خمی در تیرهای عریض رخ داد. شایان ذکر است باریکشدنگی حلقه‌های هیسترزیس در نمونه‌های با تیر عریض بسیار کمتر از نمونه‌های آزمایش شده‌ی دیگر پژوهشگران است.^[۱۲]

همچنین در سال ۲۰۱۵، در ادامه‌ی یک کار پژوهشی در زمینه‌ی اتصالات تیر عریض - ستون، ۴ اتصال تیر عریض - ستون داخلی با مقایسه کامل آزمایش و طراحی شدند: دو نمونه برای بار ثقلی و دو نمونه دیگر علاوه بر بار ثقلی، برای الزامات لرزه‌یی. نتایج نشان داد که در این حالت نیز با بهبود اندک جزئیات میلگردگاری اتصالات، می‌توان مانع رشد ترک‌های پرشی در اتصال شد و ظرفیت بار جانبی، غیربرشکل و اتفاق افزایشی بیشتری در مقایسه با اتصالات قبلی به دست آورد.^[۱۳] به علاوه، به دلیل فقدان داده‌های آزمایشگاهی پیرامون رفتار اتصالات طبقه‌ی بام، در پژوهش دیگری اتصالات با تیر عریض و با تیر معمولی تحت بار چرخه‌یی آزمایش شدند و نتایج نشان داد که اتصالات تیر - ستون طبقه‌ی بام اگر به درستی طراحی شوند، مقاومت و ظرفیت غیربرشکل کافی برای تحمل تاریخچه‌ی بارگذاری شدید وارد خواهند داشت و نمونه‌های تیر عریض - ستون طبقه‌ی بام، مقاومت برشی اتصال کافی دارند. شکست برشی اتصال در نمونه‌های مذکور رخ نداد و ترک خورگشی خمی تیرها و ستون، ترک‌های اصلی نمونه‌های مذکور است.^[۱۴, ۱۵]

به اتصالاتی که محور تیر و محور ستون بر هم منطبق نباشد، اتصال با خروج از مرکزیت گفته می‌شود. اتصالات با خروج از مرکزیت در قاب‌های کناری ساختمان‌های بتن مسلح بنا به دلایل معماری مرسوم است. وجود خروج از مرکزیت میان محورهای تیر و ستون، منجر به ایجاد پیچش در ناحیه‌ی اتصال می‌شود. این پیچش در اتصال می‌تواند منجر به خرابی در اتصال شود و در رفتار غیرکشسان سازه تأثیر نامطلوبی بگذارد. بر طبق آیین نامه‌ی ۲ ACL-۳۵۲R-۰، اتصالات خارج از مرکز نیازمند مطالعات بیشتری است. به علاوه اثر خروج از مرکزیت در اتصالات با تیر عریض نیز تاکنون بررسی نشده است. بنابراین لزوم مطالعه پیرامون رفتار اتصالاتی از این نوع حائز اهمیت است.

در پژوهش حاضر، مطالعه‌ی با هدف بررسی رفتار اتصالات کناری تیر عریض - ستون بتن مسلح با خروج از مرکزیت انجام و راهکاری برای طراحی اتصالات با خروج از مرکزیت مجاز ارائه شده است. همچنین به منظور بررسی اثر خروج از مرکزیت در رفتار اتصالات تیر عریض - ستون کناری، مدل‌هایی با استفاده از انتقال عددی اجزاء محدود غیرخطی در نرم‌افزار آباکوس ساخته و پس از راستی آزمایی نتایج حاصل از تحلیل عددی با نتایج آزمایشگاهی، اثر خروج از مرکزیت در رفتار اتصالات تیر عریض - ستون کناری بررسی شد.

۲. نمونه‌ی آزمایشگاهی

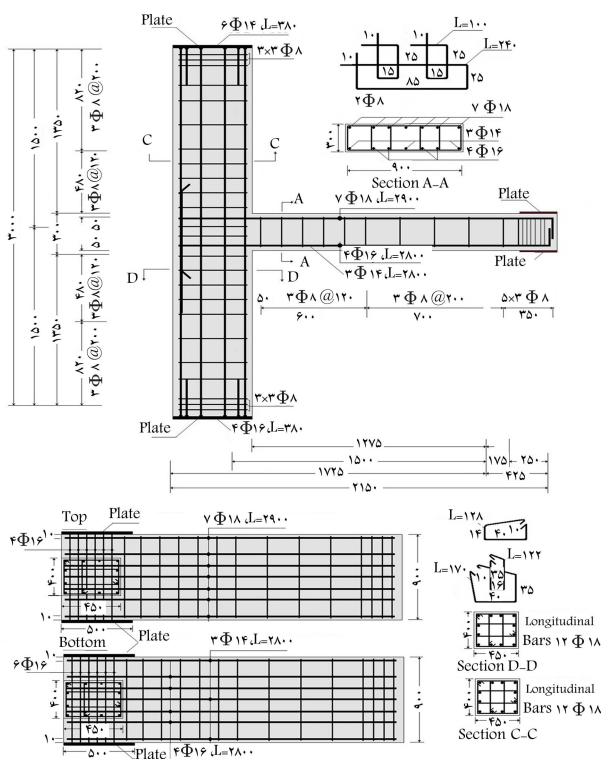
اتصال نمونه‌ی آزمایش شده در نوشتار حاضر که برای راست آزمایی مدل‌سازی استفاده شده است، مربوط به آزمایش‌هایی است که نویسنده‌ی دوم (عباسعلی تسنیمی) و نویسنده سوم (سارا میرزاپارقی) انجام داده‌اند، که شرح مختصری از آن در بخش حاضر ارائه شده است. نمونه‌ی موردنظر اتصال کناری تیر عریض - ستون از یک ساختمان ۱۰ طبقه است که سیستم سازه‌یی متشکل از دیوار برشی و قاب خمی

با افزایش عرض تیر افزایش می‌یابد و در برخی موارد، تمام میلگردها در تغییرمکان نسبی ۴٪ به کرنش تسلیم نمی‌رسند و این بدان معناست که ظرفیت شکل‌بندیری قابل توجهی به دست می‌آید.^[۱۶] در سال ۱۹۹۲، نیز ۴ اتصال خارجی تیر عریض در صورت کنترل دقیق پارامترهای طراحی، اتصالات تیر عریض - ستون عملکرد مناسبی خواهند داشت پارامترهای طراحی شامل نسبت عرض تیر به عرض ستون و میزان آرماتورهایی از تیر که از خارج هسته‌ی اتصال عبور می‌کنند، بود.^[۱۷]

همچنین در سال ۱۹۹۹، آزمایش‌هایی بر روی اتصالات کناری تیر عریض - ستون بتن مسلح همراه با دال تحت بار جانبی چرخه‌یی شبه‌استاتیکی انجام و گزارش شد که در اتصالات مذکور اگر نسبت عرض تیر به عرض ستون بزرگ‌تر از ۳ باشد و دست‌کم، دو سوم میلگردهای خمی تیر عریض، بیرون از هسته‌ی ستون مهار شده باشند، عملکرد خوبی دارند.^[۱۸] در سال‌های ۲۰۰۵ و ۲۰۰۷، نیز آزمایش‌هایی بر روی اتصالات کناری و میانی تیر عریض - ستون بتن مسلح با مقایسه دو سوم تحت بار جانبی دینامیکی بر روی میز لرزان انجام شد و هر دو نمونه، سختی جانبی کمی نشان دادند و تسلیم به ترتیب در تغییرمکان نسبی جانبی ۱/۵ و ۳ درصد از ارتفاع ساختمان برای اتصالات بیرونی و میانی اتفاق افتاد.^[۱۹] همچنین در آزمایش‌های انجام شده‌ی دیگری (۲۰۰۶) بر روی اتصالات کناری و میانی تیر عریض - ستون بتن مسلح با مقایسه دو سوم، مشاهده شد که افزودن میراگرهای مهاری، خرامی ستون‌ها و تیرهای بتن مسلح به طور قابل توجهی محدود می‌شود و بیش از ۷۵٪ کرنش‌های بیشینه در میلگرد طولی کاهش می‌یابد.^[۲۰] در سال ۲۰۰۸ نیز آزمایش‌هایی برای بررسی عملکرد لرزه‌یی اتصالات کناری تیر عریض - ستون بتن مسلح با مقایسه سه نیجم انجام و مشاهده شد که اولين تسلیم میلگردهای طولی تیر عریض در تغییرمکان نسبی جانبی ۲/۲٪ ارتفاع طبقه ایجاد می‌شود که تقریباً ۴۰٪ از متوسط گزارش شده برای اتصالات کناری بیشتر بود.^[۲۱]

همچنین در سال ۲۰۰۹، آزمایش‌هایی برای بررسی عملکرد لرزه‌یی اتصالات کناری تیر عریض - ستون بتن مسلح انجام شد و با استفاده از نرم‌افزار اجزاء محدود به مطالعه‌ی عددی و پارامتریک اتصالات مذکور پراخته و گزارش شد که میلگردهای طولی در لبه‌ی تیر عریض که از ستون عبور نمی‌کنند، نسبت به میلگردهایی که ستون را قطع می‌کنند، در بارهای بیشتری تسلیم می‌شوند و این مسئله منجر به تأخیر در شکل‌گیری مفاصل خیری در تمام عرض تیر می‌شود.^[۲۲] در پژوهشی در سال ۲۰۱۲ نیز رفتار لرزه‌یی اتصالات تیر عریض - ستون خارجی با استفاده از نرم‌افزار آباکوس بررسی شد و هدف اصلی پژوهش مذکور، یافتن مسیرهای انتقال بار و ارزیابی عملکرد اتصالات با تیر معمولی و تیر عریض بود و نتایج بود - ستون نشان داد که اتصالات تیر عریض - ستون، سختی و مقاومت کمتری در مقایسه با اتصال تیر عریض - ستون دارند. به علاوه، عرض تیر در تیرهای عریض، اثر قابل ملاحظه‌ی در مسیرهای انتقال بار دارد.^[۲۳]

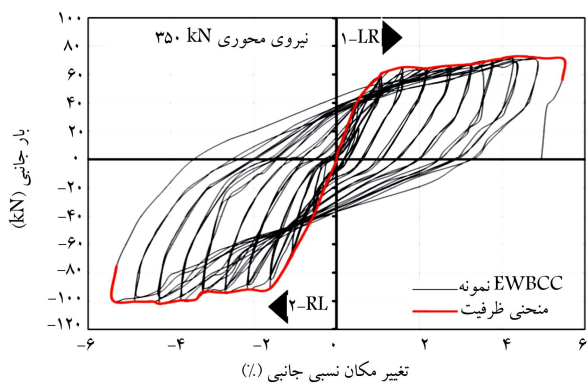
همچنین برخی پژوهشگران (۲۰۱۳)، عملکرد لرزه‌یی اتصالات کناری تیر عریض - ستون بتن مسلح را مطالعه و گزارش کردند که با بهبود اندک جزئیات میلگردگاری اتصالات، می‌توان مانع رشد ترک‌های پرشی در اتصال شد و ظرفیت بار جانبی غیربرشکل و اتفاق افزایشی بیشتری در مقایسه با اتصالات قبلی به دست آورد.^[۲۴] در پژوهش دیگری (۲۰۱۴)، نیز آزمایش‌هایی بر روی اتصالات میانی و کناری تیر عریض - ستون بتن مسلح معمولی با مقایسه کامل برای بررسی عملکرد لرزه‌یی اتصالات مذکور انجام شد که در آن‌ها نمونه‌های تیر عریض - ستون، تیرهای عرضی از نوع عریض داشتند و نتایج نشان داد در صورتی که اتصالات تیر عریض - ستون به درستی طراحی شوند، مقاومت و ظرفیت استهلاک انرژی کافی برای تحمل بارگذاری



شکل ۱. جزئیات میلگردگاری و ابعاد نمونه‌ی EWBCC [۱۳].



شکل ۲. ترک خوردگی در نمونه‌ی EWBCC در تغییرمکان نسبی جانبی ۳٪/۵٪ [۱۳].



شکل ۳. منحنی پوش و چرخه‌ی (هیسترزیس) بار-تغییرمکان نسبی جانبی نمونه‌ی EWBCC [۱۳].

با شکل‌بندیری متوسط دارد. در سازه‌ی مذکور، ارتفاع تمام تیرها ۳۰۰ میلی‌متر و کف طبقات تیرچه بلوك اختیار شده و ابعاد تیر عرضی برابر با $400 \times 900 \times 300$ میلی‌متر و ابعاد ستون برابر با $400 \times 450 \times 450$ میلی‌متر بوده است. تنش تسیلیم میلگردهای مصرفی برابر با 400 میلی‌متر بوده است. میلگردهای بتن برابر با 22 میلگردهای بزرگ ترین بود. در آزمایش مذکور از سیمان معمولی نوع دوم استفاده شده و اندازه‌ی بزرگ‌ترین سنگ دانه برابر با 20 میلی‌متر بوده است. در جدول ۱، مشخصات بتن و میلگردهای مصرفی در آزمایش‌ها ارائه شده است. در نمونه‌ی مذکور که با نماد (EWBCC) معروفی شده است، بار ثابت محوری 350 کیلوپوتون از طریق یک جک هیدرولیکی بر بالای ستون اعمال شده است. برای شبیه‌سازی نیروی ناشی از زلزله، بارگذاری جانبی مطابق الگوی B ارائه شده در $ASTM-E226-5^{\circ}$ در دو مرحله‌ی نیرو - کنترل و تغییرمکان - کنترل به صورت جایه‌جایی جانبی با استفاده از دو جک هیدرولیکی افقی در دو سمت بالای ستون اعمال شده است. در مرحله‌ی نیرو - کنترل، چرخه‌های بارگذاری شامل 20% ، 40% ، 60% ، 80% و 100% نیروی ترک خوردگی متناسب با $1/25$ ، $1/20$ ، $1/15$ و $1/10$ جایه‌جایی کل اعمال شد. پس از اولین ترک خوردگی، چرخه‌های بارگذاری از نوع تغییرمکان - کنترل با 3 تکرار در هر دامنه، متناسب با 20% ، 40% ، 60% و 80% جایه‌جایی نهایی اعمال شد. شکل ۱، مشخصات نمونه را نشان می‌دهد. به منظور شبیه‌سازی نقاط عطف دیاگرام لنگر خمیشی تحت بار جانبی، انتهای ستون تکیه‌گاه مفصلی و انتهای تیر تکیه‌گاه غلتکی قرار داده شد.

برای اندازه‌گیری تغییرشکل تیر و ستون از تغییرمکان سنج‌های (LDVT) استفاده شد. همچنین از کرنش سنج‌های برای اندازه‌گیری کرنش در میلگردها با نصب شان بر روی میلگردها در محل بیشترین لنگر استفاده شد. در آزمایش مذکور متناظر با تغییرمکان نسبی جانبی $1/5\%$ پیوستگی بین میلگرد و بتن را لی و در $1/25$ و در $1/10$ میلگردهای تیر جاری شدند، ولی ستون در محدوده‌ی ارجاعی باقی ماند که نشان‌دهنده‌ی مکانیزم تیر ضعیف - ستون قوی بود. شکل ۲، وضعیت ترک‌ها و تمرکز تنش را در نمونه‌ی مذکور نشان می‌دهد. همچنین مشخصی چرخه‌ی (هیسترزیس) بار - تغییرمکان نسبی جانبی در شکل ۳ مشاهده می‌شود. نتایج کامل حاصل از آزمایش نمونه‌ی مذکور در مرجع [۱۳] ارائه شده است.

۳. مبانی مدل‌سازی عددی

در مدل‌سازی نمونه‌ی آزمایش شده، ابتدا هندسه‌ی آن که شامل اجزاء تشکیل‌دهنده‌ی تیر و ستون و شرایط مرزی بود، دقیقاً مشابه با واقعیت نمونه‌ی آزمایشگاهی تشکیل شد. سپس با مشخص کردن مدل رفتاری فولاد و بتن، ویژگی‌های آن‌ها اختصاص

جدول ۱. مشخصات مورد استفاده در آزمایش. [۱۳]

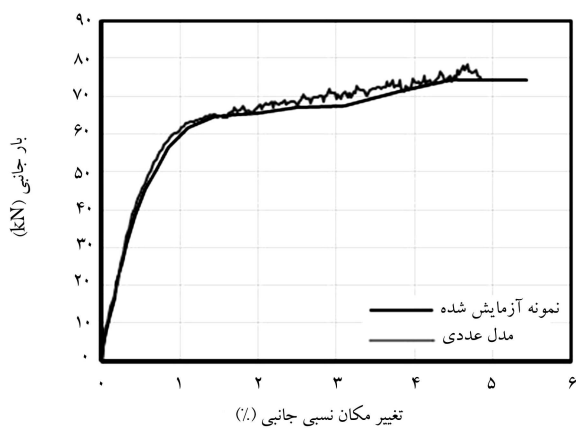
مقادیر ارجاعی (میلگرد) (f_c' میلگردها)	مقادیر ارجاعی (میلگرد) (E_c میلگردها)	مقادیر ارجاعی بتن
$20\text{ }180$	$2,68$	$28,73$
مدول ارجاعی (میلگرد) (E_s میلگردها)	مدول ارجاعی (میلگرد) (f_{sy} میلگردها)	قطر (میلی‌متر)
$19,573,3$	$246,84$	8
$20\text{ }240,5$	$245,38$	14
$20\text{ }173,8$	$497,64$	16
$22,450,3$	$492,62$	18

در مدل سازی عددی از مدل شیما [۱۹]، برای رابطه‌ی سخت‌شدگی کششی بتن، و از مدل مایکاوا [۲۰] برای رابطه‌ی تنش - کرنش تک محوری فشاری بتن و رابطه‌ی تنش - کرنش فولاد میلگرد استفاده و مقادیر زاویه‌ی اتساع، اندازه‌ی المان بنده، پارامتر خروج از مرکزیت، پارامتر سطح تسلیم، نسبت مقاومت فشاری دو محوری بتن به مقاومت فشاری تک محوری به ترتیب مقادیر ۳۵ میلی‌متر، ۰/۱، ۰/۶۶۷ و ۱/۱۶ در نظر گرفته شدند که در جدول ۲ آرائه شده‌اند.

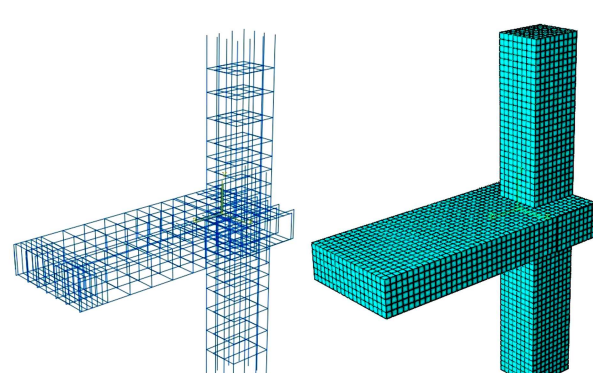
داده شد. در مدل سازی عددی مذکور، میلگردها در بتن مدفون در نظر گرفته شدند و اثر لغزش میلگرد در بتن با اصلاح مدل رفتاری فولاد و بتن لحاظ شد. بدین جهت از مدل سخت‌شدگی کششی بتن استفاده شده است. با استفاده از مدل مذکور، این امکان وجود دارد که بتوان آثار سطح مشترک میلگرد - بتن از قبیل پیوستگی - لغزش را به صورت تقریبی مدل سازی کرد. به علاوه، در هنگام استفاده از مدل‌های رفتاری متوسط مانند مدل سخت‌شدگی کششی، مدل رفتاری آرماتور نیز باید براساس رفتار متوسط آن استفاده شود. با توجه به انتقال تنش‌های پیوستگی از آرماتور به بتن، توزیع تنش در طول آرماتور با توزیع تنش در یک آرماتور تک متفاوت خواهد بود. بنابراین، هنگامی که آرماتور در محل ترک جاری می‌شود، قسمت‌های دیگر آن که بین دو ترک قرار دارند، وضعیت ارتجاعی خواهند داشت. بنابراین متوسط تنش جاری شدن آرماتور، کمتر از تنش جاری شدن موضعی فولاد است.

برای مدل سازی میلگرد از المان‌های خربایی دو گره‌یی با مرتبه‌ی درون‌بابی خطی و برای مدل سازی بتن از المان‌های سه‌بعدی ۸ گره‌یی با مرتبه‌ی درون‌بابی خطی استفاده شده است. دلیل استفاده از مرتبه‌ی درون‌بابی خطی و عدم استفاده از درون‌بابی مرتبه‌ی دوم، افزایش زمان تحلیل بوده است. در پژوهش حاضر، روش انتگرال‌گیری کاهش‌یافته استفاده شده است. برای اینکه مدل اجزاء محدود مشابه نمونه‌ی واقعی رفتار کند، باید شرایط مرزی مانند نمونه‌ی واقعی باشد. در مدل سازی اتصال تیر عریض - ستون، تکیه‌گاه زیر ستون به صورت مفصلی و تکیه‌گاه زیر تیر به صورت غلتکی مدل سازی شده است. همچنین بازگذاری مدل به صورت تغییر مکان بر بالای ستون اعمال شد. بازگذاری جانبی بر روی نمونه‌ی مورد آزمایش به صورت چرخه‌یی بود و از آنجایی که سرعت بازگذاری پایین بود، میزان شتاب و درنتیجه نیروهای اینرسی، مقدار کمی داشتند. لذا مدل سازی در نرم افزار باید به صورت استاتیکی باشد. با توجه به پیچیدگی مدل و زیاد بودن تعداد المان‌ها، امکان تحلیل مدل به صورت ضمنی وجود نداشت و درنتیجه از روش حل صریح استفاده شده است. دقت روش حل صریح نسبت به روش ضمنی کمتر است، اما از طرفی سرعت آن بیشتر و برای حل مسائل با پیچیدگی بالا مناسب است. چون روش حل صریح موجود در نرم افزار آباکوس مخصوص تحلیل‌های دینامیکی است، نیروهای اینرسی در محاسبات در نظر گرفته می‌شود. لذا به منظور نزدیکی نتایج تحلیل با شرایط استاتیکی، باید سرعت بازگذاری آنقدر کم در نظر گرفته شود که بازگذاری حالت شباه استاتیکی داشته باشد و منجر به شتاب و نیروهای اینرسی نشود. با توجه به راهنمای نرم افزار آباکوس، در صورتی که نسبت میزان انرژی سازه به انرژی درونی در حین تحلیل کمتر از ۱۰٪ باشد، می‌توان شرایط بازگذاری را شباه استاتیک فرض کرد. [۱۸] نمونه‌ی مدل سازی شده در نرم افزار مطابق شکل ۴ است.

مقادیر و مدل‌های مورد استفاده	پارامتر موردنظر
وکیو - میشل - شیما	رابطه سخت‌شدگی کششی بتن
هاگستاد - پوپوچ - مایکاوا	رابطه تنش - کرنش تک محوری فشاری بتن
بالاربی - مایکاوا	رابطه تنش - کرنش فولاد میلگرد
۰-۴۵-۳۷-۳۰	زاویه اتساع
۰-۳۵-۱۸ میلی‌متر	اندازه المان بنده
۱-۰/۸-۰/۶۶۷	پارامتر خروج از مرکزیت
۱-۰/۱۶-۱-۱۲-۱/۱	پارامتر سطح تسلیم
	نسبت مقاومت فشاری دو محوری به مقاومت فشاری تک محوری بتن



شکل ۵. راستی آزمایشی مدل عددی با نمونه‌ی آزمایشگاهی (EWBCC).



شکل ۴. مدل عددی نمونه‌ی آزمایشگاهی.

جدول ۳. ابعاد ستون و تیر نمونه‌های مدل‌سازی شده.

تیرهای پیرامونی (cm)	A_{stop} (mm)	تیر عریض		b_c	ستون نماد نمونه
		d_{wb} (mm)	b_{wb} (mm)		
۴۰ × ۶۰	۶۰۰	۳۰۰	۷۰۰	۴۰۰	EWB5_1
۴۰ × ۶۰	۱۸۰۰	۳۰۰	۹۰۰	۴۰۰	EWB5_2
۴۰ × ۶۰	۱۹۰۰	۴۰۰	۹۰۰	۴۰۰	EWB5_3
۵۰ × ۶۰	۱۹۰۰	۳۰۰	۹۰۰	۵۰۰	EWB6_1
۵۰ × ۶۰	۲۱۰۰	۴۰۰	۹۰۰	۵۰۰	EWB6_2
۵۰ × ۶۰	۲۳۰۰	۳۰۰	۹۰۰	۵۰۰	EWB7

جدول ۴. پارامترهای بدون بعد نمونه‌های مدل‌سازی شده.

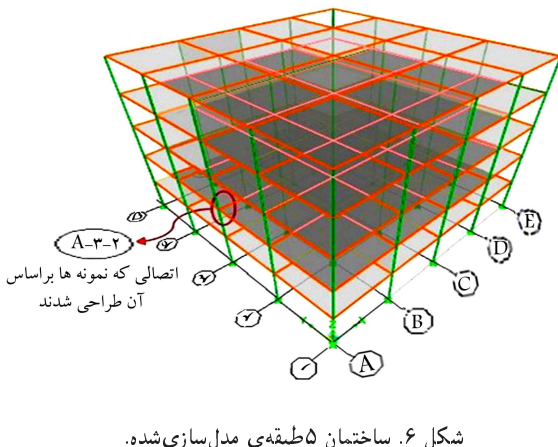
نمونه‌های انتقال انتخاب شده						x/e
EWB7	EWB6_2	EWB6_1	EWB5_3	EWB5_2	EWB5_1	
۰	۰	۰	۰	۰	۰	I
۰,۲۵	۰,۲۵	۰,۲۵	۰,۲	۰,۲	۰,۳۳	II
۰,۵	۰,۵	۰,۵	۰,۴	۰,۴	۰,۶۶	III
۰,۷۵	۰,۷۵	۰,۷۵	۰,۶	۰,۶	۱	IV
۱	۱	۱	۰,۸	۰,۸	-	V
-	-	-	۱	۱	-	VI
۱/۸	۱/۸	۱/۸	۲/۲۵	۲/۲۵	۱/۷۵	b_{wb}/b_c
۱	۱	۱	۱	۱	۱	b_c/d_c
۳	۳	۳	۳	۳	۲/۳	b_{wb}/d_{wb}
۰,۸۵	۰,۵۸	۰,۷	۰,۵۳	۰,۶۶	۰,۷	ρ_{top}

از مرکزیت محور تیر عریض از محور ستون دارد و نیز شرایط ارائه شده در آیین نامه‌ی ACI Committee ۳۵۲-۰۲ ارضاء شده است. شرایط مزبور در روابط ۱ الی ۳ ارائه شده است:

$$b_{wb} \leq \min(b_c + 1, 5d_c) \text{ or } 3b_c \quad (1)$$

$$R_m \leq (\sum M_c / \sum M_b) \geq 1/2 \quad (2)$$

$$d_{(c,w,b)} / D_{(c,w,b)} \geq 24 \quad (3)$$



شکل ۶. ساختمان ۵ طبقه‌ی مدل‌سازی شده.

سیستم قاب خمی تیر عریض در هر دو راستا داشتند و با ۴ دهانه‌ی ۶ متری بر مبنای میانگین عرض معمولی بودند. سقف همه‌ی طبقه‌ها به صورت تیرچه بلوك و نوع تیرهای بتن مسلح معمولی بودند. لازم به یادآوری است که تیرهای پیرامونی در تمام قاب‌ها از مقاومت بتن برابر ۳۰ مگاپاسکال و تنش تسليیم میلگرد‌های طولی و خاموت‌ها به ترتیب برابر ۴۰۰ و ۳۰۰ مگاپاسکال در نظر گرفته شد. در شکل ۶، ساختمان ۵ طبقه، ۲ ساختمان ۶ طبقه و یک ساختمان ۷ طبقه بروی شدند که همه‌ی آن‌ها

که در آن‌ها، M_c لنجگر ستون، M_{wb} لنجگر تیر و $D_{(c,w,b)}$ قطر میلگرد در تیر یا ستون است. بنابراین، تأثیر عواملی همچون نسبت‌های مختلف بدن بعد عرض تیر به عرض ستون (b_{wb}/b_c)، عرض تیر به ارتفاع تیر (b_{wb}/d_{wb})، مقدار میلگرد خمی در بالای تیر به میلگرد خمی پایین تیر که با نسبت (A_{stop}/A_{bot}) معروفی می‌شود و درصد میلگرد خمی بالای تیر (ρ_{top} ، به عنوان عوامل اصلی اثرگذار در رفتار انتقال در نظر گرفته شد که برای نمونه‌های مختلفی با ویژگی‌های مندرج در جدول‌های ۳ و ۴ ارائه شده است.

در مطالعه‌ی حاضرکه برای اثر خروج از مرکزیت محور تیر عریض از محور ستون (e) متمرکز است، پارامتر بدون بعد نسبت خروج از مرکزیت محور تیر از محور ستون به نصف تقاضل عرض تیر از عرض ستون ($b_{wb} - b_c = a$) که با نسبت e/a نشان داده شده است، برای یک انتقال کناری از ۶ ساختمان ۵ طبقه، ۲ ساختمان ۶ طبقه و یک ساختمان ۷ طبقه بروی شدند که همه‌ی آن‌ها

هر دو عبارت سمت چپ رابطه‌ی ۶، تشن‌های ناشی برشی ناشی از پیچش و برش هستند که مجموع آن‌ها نباید از مجموع تنش ناشی از ترک برشی و مقدار $\sqrt{f_c^t}$ بیشتر باشد. در رابطه‌ی ۶، A_{oh} مساحت سطح محصورشده به وسیله‌ی محورهای اضلاع خاموت پیچشی بیرونی مقطع P_h محیط سطح محصورشده به وسیله‌ی محورهای اضلاع خاموت پیچشی بیرونی مقطع هستند. شایان ذکر است که مقداری از پیچش ناشی از خروج از مرکزیت توسط تیر تحمل می‌شود که به صورت محافظه‌کارانه آن را در طراحی ستون در نظر می‌گیرند.

۲.۵. پیچش اضافه‌شده ناشی از خروج از مرکزیت در تیر عریض
با توجه به اینکه تعدادی از میلگرد‌های تیر عریض از خارج ستون عبور می‌کنند و در داخل تیر عریض مهار می‌شوند، لازم است که اثر نیروی پیچشی ناشی از آن‌ها در طراحی اتصالات مذکور همراه با خروج از مرکزیت لحاظ شود. مقدار پیچش ناشی از خروج از مرکزیت مطابق رابطه‌ی ۷ محاسبه می‌شود:

$$T_e = 1/25 A_s \cdot l \cdot F_y \quad (7)$$

که در آن، F_y مقدار تنش تسلیم میلگرد‌های تیر و A_s مجموع مساحت میلگرد‌های کششی هستند که از خارج ستون عبور می‌کنند و در هر طرف ستون باید محاسبه و مطابق رابطه‌ی ۵ به پیچش در تیر عریض اضافه شوند. همچنین ۷ فاصله‌ی بین مرکز نیروها کششی و فشاری در مقطع تیر عریض است.

۶. ارائه‌ی راهکار در طراحی اتصالات تیر عریض - ستون

میلگرد‌های طولی تیر عریض که خارج از ستون عبور می‌کنند، موجب تولید لنگر پیچشی در محل اتصال می‌شوند که در آینین نامه‌ها برای آن ضوابط ویژه‌ی بیشینی شده است. لکن در مورد خروج از مرکزیت محور تیر عریض از محور ستون یک لنگر پیچشی اضافی دیگری به ستون تحمیل می‌شود که باید در طراحی منظور شود. همان‌طور که قبلاً اشاره شد، در طراحی اتصالات تیر عریض - ستون، رابطه‌ی ۶ یک شرط کنترل‌کننده در ترکیب برش و پیچش است و برای طراحی آن‌ها می‌توان به این ترتیب اقدام کرد:

۱. محاسبه‌ی نیروهای وارد بر سازه تحت بارهای ضربی دار؛
۲. به دست آوردن درصد میلگرد در مقاطع با توجه به نیروهای محوری و خمشی؛
۳. محاسبه‌ی مقدار خاموت‌های پیچشی و برشی با توجه به نیروهای پیچشی اضافه‌شده ناشی از خروج از مرکزی.

۷. مطالعات پارامتریک

در بخش حاضر، نقش پارامترهای مؤثر در رفتار اتصالات تیر عریض - ستون کناری تحت بارگذاری یکنواخت که در اینجا ارائه شده است، بررسی شده است:

- اثر خروج از مرکزیت در نحوه خرابی بن؛
- اثر خروج از مرکزیت در برش ستون؛
- بررسی اثر نسبت عرض تیر به عرض ستون در کاوش برش پایه‌ی ستون و متناظر با خروج از مرکزیت‌های مختلف.

طبقه به عنوان نمونه مشاهده می‌شود. اتصال ۳-۲-A در طبقه‌ی دوم ساختمان‌های مذکور برای بررسی اثر خروج از مرکزیت عریض از محور ستون در نظر گرفته شد. در نماد نمونه‌های اتصال، عده‌های ۵، ۶ و ۷ به ترتیب برای ساختمان‌های ۵، ۶ و ۷ طبقه استفاده شده است. خلاصه‌ی مشخصات نمونه‌ها، شامل ابعاد هندسی تیرهای عریض و معمولی و مقدار میلگرد‌های فوقانی تیرهای عریض در جدول ۳ ارائه شده است. همچنین در جدول ۴، برای هر یک از نمونه‌های اتصال، مقادیر مختلفی برای نسبت e/a و نسبت‌های هندسی و درصد میلگرد‌های فوقانی ارائه شده است.

۱.۵. پیچش اضافه‌شده ناشی از خروج از مرکزیت در ستون
پیچش ناشی از خروج از مرکزیت در ستون (T_e) که به اندازه‌ی برش ستون ضرب در فاصله‌ی محورهای تیر عریض و ستون است، به پیچش موجود در ستون اضافه می‌شود (رابطه‌ی ۴):

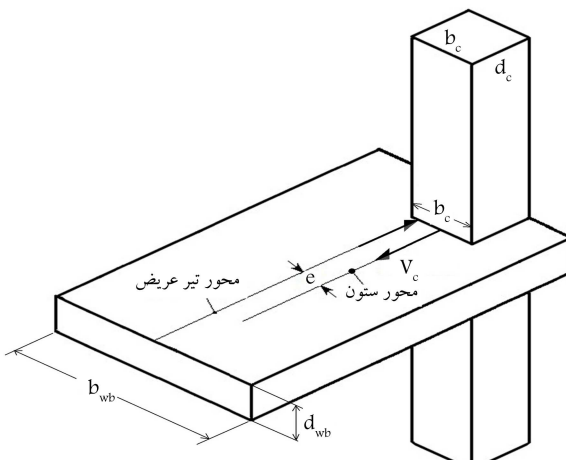
$$T_e = V_e \times e \quad (4)$$

که در آن، V_e برش ستون (از معادلات تعادل محاسبه می‌شود) و e فاصله‌ی محور ستون از محور تیر عریض (از هندسه‌ی اتصال به دست می‌آید) هستند و در شکل ۷ نشان داده شده‌اند. بنابراین برای طراحی اتصال باید لنگر پیچشی جدیدی (T_{all}) که مجموع لنگر پیچشی (T_u) پیچشی تحت بارهای ضربی دار ناشی از وجود تیر عریض و لنگر پیچشی ناشی از خروج از مرکزیت (T_e) است، منظور شود (رابطه‌ی ۵).

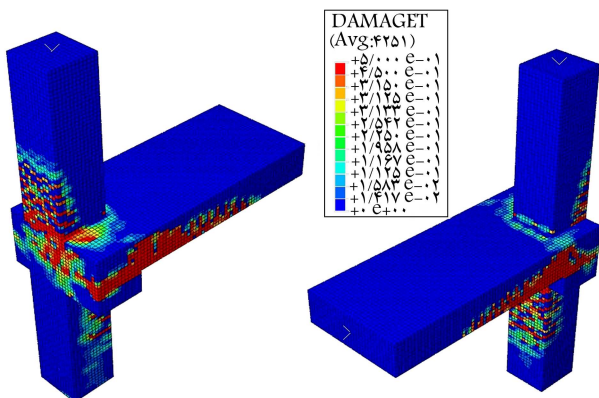
$$T_{all} = T_e + T_u \quad (5)$$

از طرفی طبق ضوابط ACL۳۱۸-۲۰۱۴، باید محدودیت ابعاد مقطع ستون در اثر لنگر پیچشی (T_u) و برش در بر ستون به منظور جلوگیری از توسعه‌ی ترک‌ها و خردش‌گی بتن سطح مطابق رابطه‌ی ۶ کنترل شوند. بدیهی است که در رابطه‌ی ۶ باید به جای لنگر پیچشی (T_u) از لنگر پیچشی کل مطابق رابطه‌ی ۵ استفاده شود، تا اثر خروج از مرکزیت در کنترل ابعاد مقطع ستون در نظر گرفته شود.

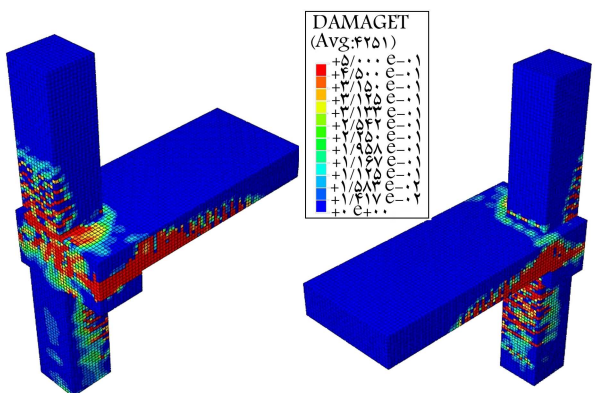
$$\sqrt{\left(\frac{V_u}{b_{bd}}\right)^2 + \left(\frac{T_{all} P_h}{1/7 A_{oh}^t}\right)^2} \leq \phi \left(\frac{V_c}{b_{bd}} + \frac{2}{3} \sqrt{f_c^t} \right) \quad (6)$$



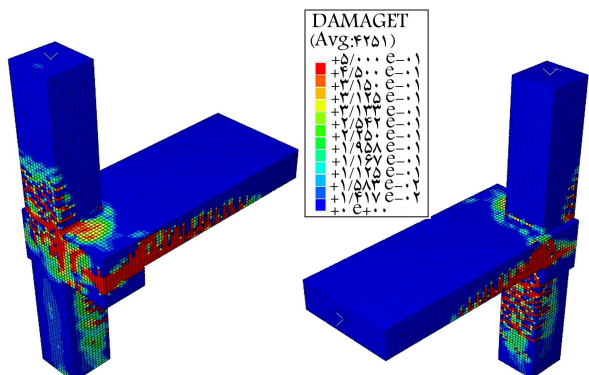
شکل ۷. اتصال تیر عریض ستون - کناری همراه با خروج از مرکزیت.



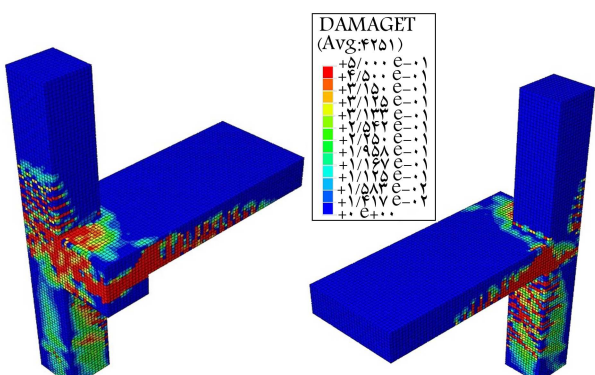
شکل ۱۰. کانتور خسارت بتن در تغییرمکان نسبی جانبی ۵٪ نمونه‌ی EWB2b.



شکل ۱۱. کانتور خسارت بتن در تغییرمکان نسبی جانبی ۵٪ نمونه‌ی EWB2c.



شکل ۱۲. کانتور خسارت بتن در تغییرمکان نسبی جانبی ۵٪ نمونه‌ی EWB2d.



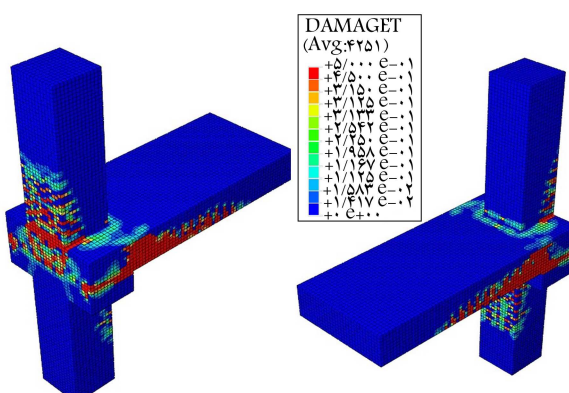
شکل ۱۳. کانتور خسارت بتن در تغییرمکان نسبی جانبی ۵٪ نمونه‌ی EWB2e.

به منظور بررسی اثر خروج از مرکزیت در نحوه‌ی ایجاد خرابی بتن برای نمونه‌های مختلف، از نتایج تحلیل کانتور خسارت کششی بتن در تغییرمکان نسبی جانبی ۵٪ استفاده شد و به عنوان نمونه، خسارت ایجادشده در حالات مختلف نمونه EWB2 در شکل‌های ۸ الی ۱۳ آرائه شده است.

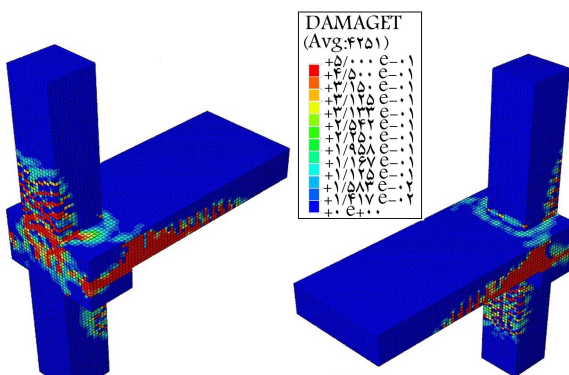
همان‌گونه که در شکل‌های ۸ الی ۱۳ مشاهده می‌شود، با افزایش خروج از مرکزیت در نمونه‌های تیر عرضی - ستون، خسارت بیشتری در ستون ایجاد می‌شود که به دلیل پیچش اضافی ناشی از خروج از مرکزیت است. این پیچش اضافی منجر به اضافه شدن تنش‌های کششی به تنش‌های موجود می‌شود و در نتیجه خسارت بیشتری ایجاد می‌شود. همچنین با افزایش خروج از مرکزیت، نیروی پیچشی بیشتری به تیر عرضی وارد می‌شود و نیروهای مذکور در یک طرف تیر عرضی متراکز می‌شوند که مشابه حالت قبایل تنش‌های کششی بیشتری در تیر عرضی ایجاد می‌شود و منجر به خسارت بیشتر در بخشی از تیر کنار ستون می‌شود.

۱.۷ اثر خروج از مرکزیت بر برش ستون

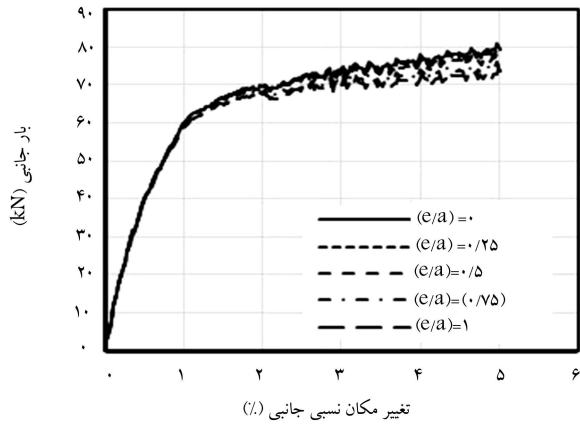
اثر خروج از مرکزیت در برش ستون در اتصالات ارائه شده در قالب نمودارهای ظرفیت (بارجانبی یا برش - تغییرمکان نسبی) در شکل‌های ۱۴ الی ۱۹ مشاهده می‌شود که مطابق آن‌ها با افزایش خروج از مرکزیت، نیروی برشی ایجادشده در ستون کاهش می‌یابد که ناشی از خسارت ایجادشده در اثر پیچش اضافی است که به ستون وارد می‌شود. همچنین کاهش میزان برش پایه‌ی ستون، نشان‌دهنده‌ی کاهش مجموع نیروهایی است که در هر تغییرمکان نسبی جانبی در میلگردی‌های تیر ایجاد می‌شود که با افزایش خروج از مرکزیت، مجموع نیروهای مذکور کاهش می‌یابد. در جدول



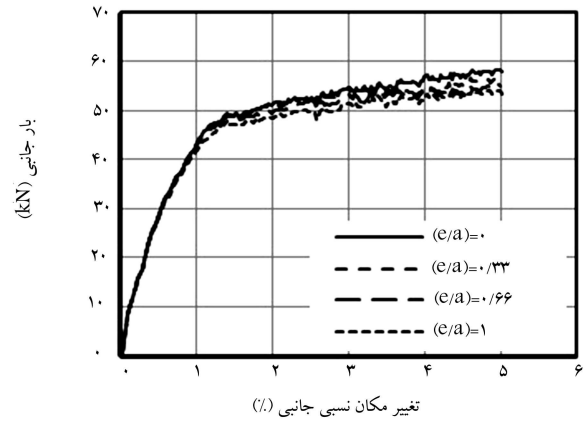
شکل ۸. کانتور خسارت بتن در تغییرمکان نسبی جانبی ۵٪ نمونه‌ی EWB2.



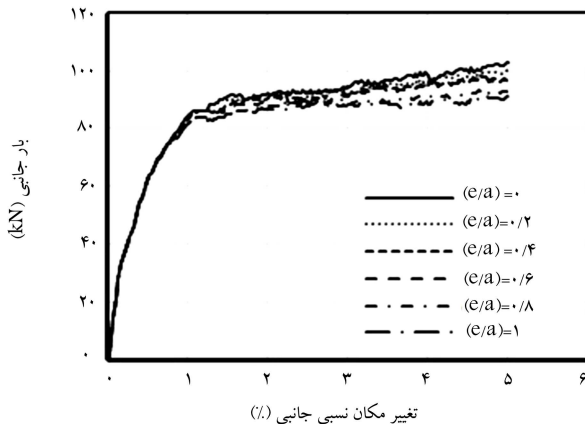
شکل ۹. کانتور خسارت بتن در تغییرمکان نسبی جانبی ۵٪ نمونه‌ی EWB2a.



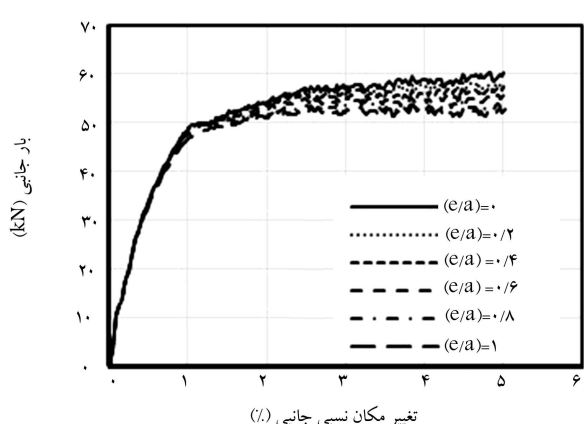
شکل ۱۷. نمودار برش ستون - تغییر مکان نسبی جانبی، حالات مختلف نمونه‌ی EWB۴



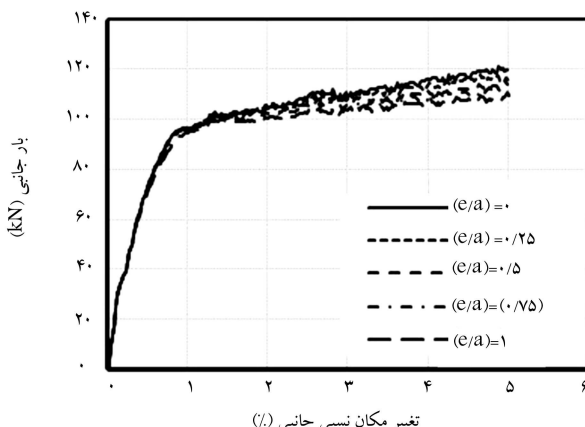
شکل ۱۴. نمودار برش ستون - تغییر مکان نسبی جانبی، حالات مختلف نمونه‌ی EWB۱



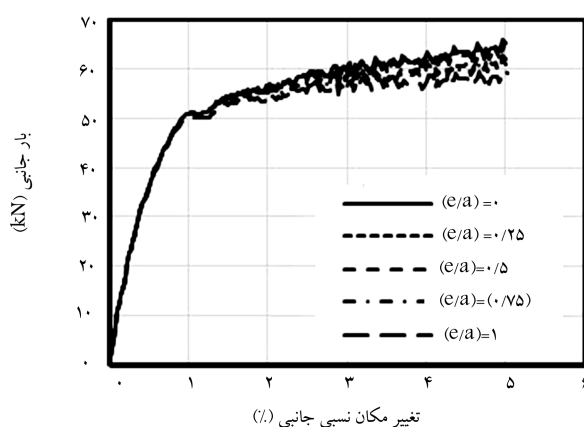
شکل ۱۸. نمودار برش ستون - تغییر مکان نسبی جانبی، حالات مختلف نمونه‌ی EWB5



شکل ۱۵. نمودار برش ستون - تغییر مکان نسبی جانبی، حالات مختلف نمونه‌ی EWB2



شکل ۱۹. نمودار برش ستون - تغییر مکان نسبی جانبی، حالات مختلف نمونه‌ی EWB6



شکل ۱۶. نمودار برش ستون - تغییر مکان نسبی جانبی، حالات مختلف نمونه‌ی EWB3

۲.۷ بررسی اثر نسبت عرض تیر به عرض ستون در کاهش برش پایه‌ی ستون در خروج از مرکزیت های مختلف برای بررسی اثر نسبت عرض تیر به ستون، نمونه‌هایی با نسبت عرض تیر به ستون مختلف مدل‌سازی و مشاهده شد که با زیاد شدن نسبت عرض تیر به ستون،

۵. اثر خروج از مرکزیت در میزان برش پایه‌ی ستون در تغییر مکان نسبی جانبی ۵٪ نمونه‌ها ارائه شده است. با افزایش خروج از مرکزیت میزان برش پایه‌ی ستون در نمونه‌های مختلف کاهش می‌یابد. به عنوان نمونه، کاهش برش پایه در اتصال EWB2 در بیشینه‌ی خروج از مرکزیت محور تیر از محور ستون به ۱۲٪ رسیده است.

جدول ۶. مشخصات نمونه‌های مورد بررسی برای پارامتر نسبت عرض تیر به عرض ستون.

نمونه	عرض			نسبت عرض تیر به
	تیر (b_c)	عرض ستون (b_w)	ستون (b_c/b_w)	
EWB۱	۷۰	۴۰	۱,۷۵	
EWB۲	۹۰	۴۰	۲,۲۵	
EWB۳	۹۰	۵۰	۱,۸	

به علاوه، میلگردهای مذکور در نهایت کرنش خمیری کمتری تحمل می‌کنند. از طرفی با افزایش خروج از مرکزیت، میلگردهای بخش خارجی تیر وضعیت بحرانی تری پیدا می‌کنند و این باعث افت بیشتر منحنی برش پایه‌ی ستون - تغییرمکان نسبی جانبی نمونه‌های با نسبت عرض تیر به عرض ستون بیشتر می‌شود. در جدول ۶، درصد کاهش برش پایه‌ی ستون در تغییرمکان نسبی جانبی ۵٪ ارائه شده است.

در نمونه‌ی EWB۲ که نسبت عرض تیر به عرض ستون بیشتری نسبت به نمونه‌های EWB۱ و EWB۳ دارد، برش پایه‌ی ستون در تغییرمکان نسبی جانبی ۵٪ افت بیشتری نسبت به دو نمونه‌ی دیگر خواهد داشت. زیرا میلگردهایی که خارج هسته‌ی اتصال واقع‌اند، فاصله‌ی بیشتری از ستون دارند و در نتیجه محصورشدنگی کمتری دارند و کرنش خمیری کمتری تجربه می‌کنند که این باعث افت برش پایه در ستون می‌شود.

۸. نتیجه‌گیری

نتایج حاصل از بررسی رفتار اتصالات کناری تیر عریض - ستون بتن مسلح با خروج از مرکزیت محور تیر نسبت به محور ستون تحت بار جانبی که در اینجا با عنوان خلاصه‌شده‌ی «خروج از مرکزیت» ذکر شده است، به این شرح است:

۱. با توجه به اینکه خروج از مرکزیت سبب ایجاد پیچش اضافی در ستون می‌شود، باید طراحی ستون براساس مجموع پیچش تحت بارگذاری لرزه‌ی و پیچش ناشی از خروج از مرکزیت انجام شود.

۲. افزایش خروج از مرکزیت موجب افزایش پیچش می‌شود. اثر این پیچش خسارت متمرکز و بیشتری در آن سمت از تیر که میلگردهای بیشتری در خارج هسته‌ی اتصال قرار دارند، وارد می‌کند.

۳. با افزایش خروج از مرکزیت، نمودار برش ستون - تغییرمکان نسبی جانبی دچار افت بیشتری می‌شود. میزان این افت برای نمونه‌ی که بیشترین نسبت عرض تیر به عرض ستون را دارد، متناظر با بیشینه‌ی خروج از مرکزیت به ۱۲,۸٪ رسیده است. این افت ناشی از خرابی ستون به دلیل پیچش اضافی در آن و ایجاد کرنش خمیری کمتر در میلگردهایی است که از خارج هسته‌ی اتصال عبور می‌کنند.

۴. با افزایش نسبت عرض تیر به عرض ستون، میلگردهایی از تیر که خارج هسته‌ی اتصال قرار می‌گیرند، با تأخیر به تسلیم می‌رسند و مخصوصاً در میلگردهایی در میان اتصالاتی که از خارج هسته‌ی اتصال قرار می‌گیرند و در نتیجه، ایجاد کرنش خمیری که نسبت عرض تیر به عرض ستون در آن‌ها بیشتر است، افت برش پایه در نسبت‌های خروج از مرکزیت یکسان، بیشتر است.

جدول ۵. درصد کاهش برش پایه‌ی ستون در خروج از مرکزیت‌های مختلف در تغییرمکان نسبی جانبی ۵٪.

نمونه	خروج از مرکزیت برش (e/a)	درصد کاهش برش پایه‌ی ستون	نمونه	خروج از مرکزیت برش (e/a)	درصد کاهش برش پایه‌ی ستون
EWB۱	۰,۳۳	۰,۳	EWB۲	۰,۶	۰,۴۵
	۰,۶	۰,۵		۰,۷۵	۰,۴
	۰,۸	۰,۲		۰,۱۰۴	۰,۲۶
	۱	۰,۲۶		۰,۱۲۸	۰,۲۶
EWB۳	۰,۲۵	۰,۱۹	EWB۴	۰,۷۵	۰,۴
	۰,۵	۰,۲۵		۰,۱۱۱	۰,۲۵
	۰,۷۵	۰,۲۵		۰,۱۱۱	۰,۲۵
	۱	۰,۲۵		۰,۷۹	۰,۵
EWB۵	۰,۲	۰,۲۷	EWB۶	۰,۷۵	۰,۴
	۰,۴	۰,۵۱		۰,۶	۰,۶
	۰,۶	۰,۷۳		۰,۸	۰,۷۵
	۱	۰,۷۹		۱	۰,۷۵
	۰,۲۵	۰,۳۹		۰,۷۵	۰,۵
	۰,۵	۰,۴۶		۰,۶	۰,۷۵
	۰,۷۵	۰,۶۷		۱	۰,۷۵
	۱	۰,۸۵		۱	۰,۷۵

میلگردهایی که در خارج هسته‌ی اتصال قرار دارند، با تأخیر به تسلیم می‌رسند و همچنین مهار آن‌ها با سختی ممکن است. در بخش حاضر، مقایسه‌ی رفتار نمونه‌های EWB۳، EWB۲، EWB۱ صورت گرفته است که مشخصات آن‌ها در جدول ۶ ارائه شده است. همان‌طور که در شکل‌های ۱۴ الی ۱۶ مشاهده می‌شود، با افزایش خروج از مرکزیت، میزان طور که در خارج هسته‌ی اتصال قرار می‌گیرد و در نتیجه، جانبی بالا کاهش می‌یابد.

همچنین باید به این نکته توجه کرد که با افزایش نسبت عرض تیر به عرض ستون، بخش بیشتری از عرض تیر در خارج هسته‌ی اتصال قرار می‌گیرد و در نتیجه، میلگردهای بخش خارجی تیر در تغییرمکان نسبی جانبی بالاتری به تسلیم می‌رسند.

(References) مراجع

1. Quintero-Febres, C.G. and Wight, J.K. "Investigation on the seismic behavior of RC interior wide beam-column connections", PhD Thesis, Department of Civil Engineering, University of Michigan (1997).
2. ACI, "ACI-ASCE committee 352", Recommendations for Design of Beam-Column Joints in Monolithic Reinforced Concrete Structures, American Concrete Institute, Detroit, USA (2002).
3. Hatamoto, H., Bessho, S. and Matsuzaki, Y. "Reinforced concrete wide-beam-to-column subassemblages subjected to lateral load", *ACI Special Publication*, **123**, pp. 291-316 (1991).
4. Gentry, T.R. "Reinforced concrete wide beam-column connections under earthquake-type loading", PhD Thesis, Department of Civil Engineering, University of Michigan (1992).
5. LaFave, J.M. and Wight, J.K. "Reinforced concrete exterior wide beam-column-slab connections subjected to lateral earthquake loading", *ACI Structural Journal*, **96**(4), pp. 577-588 (1999).
6. Benavent Climent, A. "Shaking table tests of reinforced concrete wide beam-column connections", *Earthquake Engineering & Structural Dynamics*, **34**(15), pp. 1833-1839 (2005).
7. Benavent-Climent, A. "Seismic behavior of RC wide beam-column connections under dynamic loading", *Journal of earthquake engineering*, **11**(4), pp. 493-511 (2007).
8. Benavent-Climent, A. "Influence of hysteretic dampers on the seismic response of reinforced concrete wide beam-column connections", *Engineering Structures*, **28**(4), pp. 580-592 (2006).
9. Benavent-Climent, A., Cahis, X. and Zahran, R. "Exterior wide beam-column connections in existing RC frames subjected to lateral earthquake loads", *Engineering Structures*, **31**(7), pp. 1414-1424 (2009).
10. Li, B. and Kulkarni, S.A. "Seismic behavior of reinforced concrete exterior wide beam-column joints", *Journal of Structural Engineering*, **136**(1), pp. 26-36 (2009).
11. Luk, S.H. and Kuang, J.S. "Seismic behaviour of RC exterior wide beam-column joints", *Proceeding of the 15th World Conference on Earthquake Engineering*, Lisbon, Portugal (2012).
12. Elsouri, A.M. and Harajli, M.H. "Seismic response of exterior RC wide beam-narrow column joints: Earthquake-resistant versus as-built joints", *Engineering Structures*, **57**, pp. 394-405 (2013).
13. Fadwa, I., Tasnimi, A.A., Nazih, E. and Mirzabagheri, S. "Reinforced concrete wide and conventional beam-column connections subjected to lateral load", *Engineering Structures*, **76**, pp. 34-48 (2014).
14. Elsoury, A.M. and Harajli, M.H. "Interior RC wide beam-narrow column joints: Potential for improving seismic resistance", *Engineering Structures*, **99**, pp. 42-55 (2015).
15. Mirzabagheri, S. and Tasnimi, A.A. "Reinforced concrete roof exterior wide and conventional beam-column joints under lateral load", *The Structural Design of Tall and Special Buildings*, **25**(9), pp. 397-411 (2016).
16. Mirzabagheri, S., Tasnimi, A.A. and Soltani Mohammadi, M. "Behavior of interior RC wide and conventional beam-column roof joints under cyclic load", *Engineering Structures*, **111**, pp. 333-344 (2016).
17. American Society for Testing and Materials (ASTM), *ASTM-E2126*, Concrete Structures Standard, Part 1, The Design of Concrete Structures Standards (1995).
18. Hibbit, Karlsson, & Sorensen, "Finite element analysis program with emphasis on advanced linear and nonlinear structural engineering and heat transfer applications", *ABAQUS 6.11, Standard user's Manual*, **1** (2001).
19. Shima, H., Chou, L. and Okamura, H. "Micro and macro models for bond behavior in reinforced concrete", *J. Faculty Eng., University of Tokyo (B)*, **39**(2), pp. 133-194 (1987).
20. Maekawa, K., Okamura, H. and Pimanmas, A., *Non-Linear Mechanics of Reinforced Concrete*, CRC Press (2003).